

Zeitschrift: Bulletin de la Société Vaudoise des Sciences Naturelles
Herausgeber: Société Vaudoise des Sciences Naturelles
Band: 89 (2004-2005)
Heft: 3-4

Artikel: Dix-neuf nouvelles espèces d'ammonites du Spathien (Trias inférieur) de l'Ouest américain (Idaho, Nevada, Uta et Californie) : note préliminaire
Autor: Guex, Jean / Hungerbühler, Alexandre / Jenks, Jim
DOI: <https://doi.org/10.5169/seals-281711>

Nutzungsbedingungen

Die ETH-Bibliothek ist die Anbieterin der digitalisierten Zeitschriften auf E-Periodica. Sie besitzt keine Urheberrechte an den Zeitschriften und ist nicht verantwortlich für deren Inhalte. Die Rechte liegen in der Regel bei den Herausgebern beziehungsweise den externen Rechteinhabern. Das Veröffentlichen von Bildern in Print- und Online-Publikationen sowie auf Social Media-Kanälen oder Webseiten ist nur mit vorheriger Genehmigung der Rechteinhaber erlaubt. [Mehr erfahren](#)

Conditions d'utilisation

L'ETH Library est le fournisseur des revues numérisées. Elle ne détient aucun droit d'auteur sur les revues et n'est pas responsable de leur contenu. En règle générale, les droits sont détenus par les éditeurs ou les détenteurs de droits externes. La reproduction d'images dans des publications imprimées ou en ligne ainsi que sur des canaux de médias sociaux ou des sites web n'est autorisée qu'avec l'accord préalable des détenteurs des droits. [En savoir plus](#)

Terms of use

The ETH Library is the provider of the digitised journals. It does not own any copyrights to the journals and is not responsible for their content. The rights usually lie with the publishers or the external rights holders. Publishing images in print and online publications, as well as on social media channels or websites, is only permitted with the prior consent of the rights holders. [Find out more](#)

Download PDF: 13.04.2026

ETH-Bibliothek Zürich, E-Periodica, <https://www.e-periodica.ch>

**Dix-neuf nouvelles espèces d'ammonites
du Spathien (Trias inférieur) de l'Ouest américain
(Idaho, Nevada, Utah et Californie):
note préliminaire***

par

*Jean GUEX¹, Alexandre HUNGERBÜHLER¹, Jim JENKS²,
David TAYLOR³ et Hugo BUCHER⁴*

Abstract.—GUEX J., HUNGERBÜHLER A., JENKS J., TAYLOR D. and BUCHER H., 2005. Nineteen new Spathian (Lower Triassic) ammonite species from Idaho, Nevada, Utah and California: preliminary report. *Bull. Soc. vaud. Sc. nat.* 89.3: 145-169. Nineteen new Spathian (Lower Triassic) ammonite species are described in the present report.

Keywords: Triassic, Ammonoids, new species, Spathian.

Résumé.—GUEX J., HUNGERBÜHLER A., JENKS J., TAYLOR D. et BUCHER H., 2005. Dix-neuf nouvelles espèces d'ammonites du Spathien (Trias inférieur) de l'Ouest américain (Idaho, Nevada, Utah et Californie): note préliminaire. *Bull. Soc. vaud. Sc. nat.* 89.3: 145-169.

Mots clés: Trias, ammonoïdés, nouvelles espèces, Spathien.

*La présente note a fait l'objet d'un numéro spécial du Bulletin de Géologie, Lausanne, n° 363, Mai 2005.

¹Institut de Géologie et Paléontologie, Université de Lausanne, Anthropôle, CH-1015 Lausanne.

²1134 Johnson Ridge Lane, West Jordan, UT 84084, USA.

³Northwest Museum of Natural History, Portland, OR, USA.

⁴Institut de Paléontologie, Université de Zürich, Karl Schmid-Strasse 4, CH-8006 Zürich.

INTRODUCTION

Ce rapport préliminaire fait suite à une note de GUEX *et al.* (2005) dans laquelle nous avons défini 18 nouveaux genres du Spathien de l'Ouest américain.

L'extension stratigraphique des espèces nouvelles décrites ici est donnée dans la figure 2 de la note sus-mentionnée. Une description détaillée des faunes associées à ces nouveaux taxons fera l'objet de la publication d'un Mémoire de Géologie de l'Université de Lausanne.

SYSTÉMATIQUE

Pseudosvalbardiceras? humboldtense sp. nov.

Pl. I, fig. 1

Holotype: spécimen JGX-1002 (diamètre 35 mm).

Provenance: Niveau JGX NHR 2823A; Northern Humboldt Range, Nevada.

Description: *Pseudosvalbardiceras* à tours juvéniles ovoïdes ornés de côtes sigmoïdes bien marquées devenant subtabulé et finement strié au stade adulte.

Discussion: Diffère de *Pseudosvalbardiceras sibiricum* (Mojsisovics) par la tabulation moins anguleuse de l'aire ventrale au stade adulte. Notre assignation générique est douteuse et provisoire.

Prohungarites submckelvei sp. nov.

Pl. I, fig. 2

Holotype: Spécimen JGX-1004 (diamètre 33 mm).

Provenance: Niveau JGX NHR 2360A; Northern Humboldt Range, Nevada.

Description: *Prohungarites* relativement évolutive à tours subtrapézoïdaux comprimés. Les flancs sont faiblement convergents et l'aire ventrale est faiblement tectiforme avec des épaulements ventro-latéraux peu prononcés.

L'ornementation consiste en des côtes peu saillantes subrectiradiées à faiblement rétroversées. La bande ombilicale est assez profonde, oblique, plane. Discussion: Se distingue de *P. mckelvei* par son involution plus faible.

Prohungarites lenticularis sp. nov.

Pl. I, fig. 4

Holotype: Spécimen JGX-1005 (diamètre 11.5 mm)

Provenance: Niveau JGX NHR 2823A; Northern Humboldt Range, Nevada.

Description: *Prohungarites* modérément involute, comprimée et presque parfaitement lenticulaire. Les flancs sont faiblement convergents jusqu'à la

mi-hauteur des tours où leur convergence augmente de manière à former une zone périventrals aiguë, dépourvue d'épaulements ventro-latéraux.

Discussion: Se distingue des autres *Prohungarites* par sa forme lenticulaire comprimée et par l'absence d'épaulements ventro-latéraux.

Prohungarites beyrichitoides sp. nov.

Pl. I, fig. 3

Holotype: Spécimen JGX-465 (diamètre 14 mm).

Provenance: Niveau JGX HC9; Hammond Creek, Bear Lake Valley, Idaho.

Description: Coquille discoïdale, moyennement involute (U=25% D). Section comprimée, ogivale. Flancs plats convergents progressivement sur le pourtour externe et déterminant un ventre plus ou moins aigu. Bande ombilicale abrupte, paroi inclinée et presque plane. L'ornementation consiste essentiellement en des constrictions relativement basses, régulièrement espacées (± 10 par tour) dont la marge apicale est la plus prononcée. La suture est illustrée à la Pl. VII, fig.1.

Remarque: Certains individus de *Prohungarites mckelvei* ont tendance à avoir des faces ventrales convexes créant une certaine ressemblance avec la présente espèce. Cette dernière distingue cependant par un ventre moins aigu et un degré d'involution plus faible. L'ornementation est nettement plus prononcée. Notre espèce nouvelle représente une préfiguration protérogénétique des Beyrichitidae de l'Anisien.

Silberlingeria rubya sp. nov.

Pl. III, fig. 1

Holotype Spécimen JGX-1005 (diamètre 54 mm).

Derivatio nominis: Espèce dédiée à Ruby Jenks.

Provenance: Niveau JGX NHR 2360D5; Northern Humboldt Range, Nevada.

Description: *Silberlingeria* semi-involute à tours larges, subtrapézoïdaux, arrondis jusqu'à la mi-hauteur des flancs puis convergents nettement vers le pourtour externe. Aire ventrale tectiforme avec épaulement ventrolatéraux bien marqués. Costulation peu dense et très régulière. Les côtes sont fortes jusqu'à la mi-hauteur des flancs où elles ont leur largeur maximale et tendent à former une excroissance latérale. Ensuite elles s'estompent et s'étalent vers le pourtour externe.

Discussion: Diffère de *S. bearlakensis* (Kummel) par sa section de tour plus trapézoïdale et par son pourtour externe nettement tectiforme, persistant dans les tours matures. Diffère de *S. bearriverensis* par sa costulation radiaire et non proverse.

Silberlingeria coronata sp. nov.

Pl. II, fig. 1

Holotype: Spécimen JGX-482 (diamètre 140 mm).

Provenance: Niveau JGX HCT; Hammond Creek, Bear Lake Valley, Idaho.

Description: *Silberlingeria* montrant une section subquadrangulaire et coronée à l'état adulte. Le large ventre tabulaire est bordé d'épaulements ventro-latéraux arrondis. Les flancs sont légèrement convexes. L'épaisseur maximale se situe un peu au-dessus de la moitié des flancs. Marge dorsale plus ou moins abruptement arrondie devenant graduelle sur la loge. Dans les sections les plus dilatées, la paroi ombilicale est verticale. Les épines sont orientées perpendiculairement au plan d'enroulement. Elles sont situées sur des côtes régulièrement espacées, subradiales à proverses, qui sont estompées ou inexistantes sur la partie interne des flancs. Elles tendent à se bifurquer vers l'avant au voisinage de la marge ventrale. On note également la présence de côtes intercalaires plus ou moins fortement prononcées. Contrairement aux côtes principales épineuses, celles-ci traversent parfois sur l'aire ventrale et sont projetées vers l'avant où elles peuvent former un sinus. Les tours internes sont concavo-tectiformes et montrent une aire ventrale finement ondulée. La suture est similaire à celle de *Silberlingeria bearlakensis*.

Remarque: Cette espèce diffère essentiellement de *S.rubyi* la précédente par des épines ayant une position périventrals. Les degrés d'involution sont similaires.

Silberlingeria sarahjanae sp. nov.

Pl. III, fig. 2

Holotype: spécimen JGX-480 (diamètre 62 mm).

Derivatio nominis: Espèce dédiée à Sarah-Jane Jackett.

Provenance: niveau HM 18b; Hammond Creek, Bear Lake Valley, Idaho.

Description: Forme discoïdale, involute (U=15-22%D). Section du tour plus ou moins comprimée dotée d'un ventre concavifastigué s'arrondissant progressivement au cours de l'ontogenèse. Flancs peu convexes. Bande ombilicale de forme variable selon la section du tour. Celle-ci s'élargit considérablement près de l'ouverture. La sculpture est constituée de côtes ou de plis radiales à proverses parfois très faibles de densité et de régularité variable. Une alternance d'éléments faibles et forts est parfois présente. Les éléments faibles sont alors limités aux flancs externes, rappelant *Silberlingeria coronata*. Les côtes s'estompent à l'approche de la périphérie ou elles peuvent être infléchies vers l'avant. Seules des lignes plus fines traversent le ventre en y créant des ondulations. Les côtes ont tendance à former des épines pouvant occuper une position variable sur l'aire latérale bien qu'un emplacement

fondamentalement différent ne s'observe pas au sein d'un même spécimen. L'allongement de leur base est parallèle aux côtes. Dans certains exemplaires l'épaississement de la section commence par un gonflement sur les flancs internes créant une zone périombilicale en forme d'entonnoir. La suture est illustrée à la Pl. VII, fig. 2.

Remarque: La première apparition de l'espèce correspond à un morphotype ayant une costulation prononcée. Dans les niveaux supérieurs le ventre est plus large à diamètre égal et la tendance à former des épines plus prononcées bien que la costulation soit moins dense. Certains individus et particulièrement les jeunes ont une tendance à avoir une tricarination ventrale ainsi que des flancs plats et sans ornementation marquée les apparentants à *Subhungarites*. Ces stades juvéniles diffèrent de *Silberlingeria coronata* par leur surface plus lisse ainsi qu'un ventre moins aplati.

Les formes intermédiaires entre *Silberlingeria* et *Prohungarites* possèdent encore des côtes parfois flexueuses et moins prononcées. Ces individus ont un tour plus comprimé et atteignent un grand diamètre sans élargissement considérable de la section.

Hemilecanites fastigatus sp. nov.

Pl. III, fig. 3

Holotype: JGX-1011 (diamètre 29.5 mm).

Provenance: Niveau JGX NHR 2823A; North Humboldt Range, Nevada.

Description: *Hemilecanites* quasiment serpenticône à tours subovoïdes et aire ventrale légèrement tectiformes. Epaulements ventro-latéraux à peine marqués. La suture est illustrée à la Pl. VII, fig.3.

Discussion: *H. fastigatus* sp. nov. se distingue des autres *Hemilecanites* par son enroulement quasiment serpenticône.

Bajarunia confusionensis sp. nov.

Pl. IV, fig. 1

Holotype: Spécimen JGX-592 (diamètre 43 mm).

Provenance: Niveau JGX-M110; Cowboy Pass, Confusion Range, Utah.

Description: *Bajarunia* à ombilic relativement large. Section du tour subogivale avec un pourtour externe tendant à devenir tranchant mais parfois légèrement arrondi. La bande ombilicale est peu profonde, arrondie et légèrement abrupte. L'holotype possède de très faibles ondulations. L'état de préservation général des spécimens ne permet pas de donner de description plus poussée. La suture est illustrée dans la Pl. VII, fig. 4.

Remarque: Nos spécimens se distinguent des *Bajarunia* usuelles par le caractère ogival plus aigu de son aire ventrale.

Arctomeekoceras popovi sp. nov

Pl. IV, fig. 2

Holotype: Spécimen JHS-43 (diamètre 59 mm).

Derivatio nominis: Hommage à Michel Jaboyedoff dit Popov

Provenance: Niveau JHSC; Hot Springs, Bear Lake Valley, Idaho.

Description: Coquille discoïdale, fortement involute. Flancs légèrement convexes. Section elliptique. Ventre arqué sans épaulements ventro-latéraux. Bordure ombilicale abruptement arrondie, paroi inclinée. Ombilic relativement profond. L'ornementation consiste en de faibles ondulations costiformes striées, fortement crochetées vers l'avant dans la région ombilicale et légèrement projetées sur le pourtour externe. Les stries sont tendues et proverses sur les flancs. Sur la loge on observe parfois de très faibles constrictiones. La suture est illustrée dans la Pl. VII, fig.5. Elle ressemble à celle de *Bajarunia curticosata* mais possède une première et seconde selle latérale de hauteur égale.

Discussion: *A. popovi* sp.nov. se distingue de *A. rotundatum* par ses lignes de croissances plus fortement crochetées vers l'avant dans la région ombilicale ainsi qu'une suture possédant des lobes légèrement plus profonds et une première selle latérale plus étroite.

Arctomeekoceras tardum sp. nov.

Pl. IV, fig. 3

Holotype: JGX-521 (diamètre 44 mm).

Provenance: Niveau JGX BETA-HC1; entre Paris Canyon et Hammond Creek, Bear Lake Valley, Idaho.

Description: Forme très involute à ombilic relativement profond. Bande ombilicale abrupte et lisse, avec épaulement ombilical anguleux. Les flancs sont sub-parallèles à légèrement convergents, l'aire ventrale est très étroite et arrondie. Les épaulements périventraux sont très faiblement marqués. La coquille est virtuellement lisse, ornée de stries tendues à légèrement flexueuses, radiaires à légèrement proverses.

La coquille est ornée de stries rectiradiées à légèrement proverses, incurvées vers l'avant sur l'aire ventro-latérale et faiblement regroupées en ondulation costiformes de même trajectoire.

Discussion: Les ondulations sont plus rectiradiées que dans *A. popovi*. La suture possède un deuxième lobe latéral légèrement plus proéminent et des indentations plus grossières.

Xenoceltites crenulatus sp. nov.

Pl. V, fig. 1

Holotype: Spécimen JGX-163 (diamètre 18 mm).

Provenance: Niveau JGX HS5; Hot Springs, Bear Lake Valley, Idaho.

Description: Forme de petite taille montrant des ondulations costiformes nettement marquées dans la moitié périventrals et traversant l'aire ventrale avec une forte projection vers l'avant. L'enroulement est évolutive à modérément involute. Les tours sont plus élevés que larges. Flancs faiblement convexes; aire ventrale nettement arrondie. La bande ombilicale est relativement abrupte et arrondie également. La suture est illustrée dans la Pl. XXXV, fig.2.

Discussion: *Xenoceltites crenulatus* diffère de *X. spencei* (HYATT et SMITH 1905) par sa forte costulation qui chevauche l'aire ventrale sans interruption.

Nordophiceratoides gracilis sp. nov.

Pl. V, fig. 3

Holotype: Spécimen JHS-12 (diamètre 49 mm).

Provenance: Niveau JHSDE; Paris Canyon, Bear Lake Valley, Idaho.

Description: Coquille discoïdale, moyennement involute. Flancs subparallèles chez le jeune devenant faiblement convexes à maturité. Section subelliptique fortement comprimée, l'épaisseur maximale se situant sur la partie interne des flancs. Ventre étroit, faiblement arqué et bordé d'épaulements arrondis. Bordure ombilicale plus ou moins abrupte, arrondie et moyennement profonde.

Remarque: Cette espèce représente une variante plus gracile que la précédente. Elle montre un taux d'involution plus important et une section plus comprimée. L'ornementation est semblable mais moins fortement prononcée. Le tracé sutural est identique.

Nordophiceratoides adriani sp. nov.

Pl. V, fig. 4

Holotype: spécimen JGX-18 (diamètre 28 mm).

Derivatio nimiris: espèce dédiée à Adrian Hungerbühler.

Provenance: Niveau JHSDE; Hot Springs, Bear Lake Valley, Idaho.

Description: Coquille discoïdale, faiblement involute. Flancs convexes, légèrement convergents sur le pourtour externe. Section elliptique à ovoïde. Ventre arqué moyennement large à bordure ventro-latérale arrondie. Bordure ombilicale largement arrondie, relativement haute. L'ornementation consiste en des côtes fortes, légèrement sinueuses et disposées radialement. Celles-ci possèdent une section arrondie et sont relativement larges (env. 12 par demi tour). Elles sont proéminentes sur la partie interne des flancs et s'atténuent

fortement à partir de la mi-hauteur des flancs. Entre ces côtes sont intercalées des mégastries associées à des tubercules périventrals (env. 4 par demi-tour) disposés deux par deux symétriquement par rapport à la ligne siphonale. Ces nodosités sont parfois immédiatement suivies de faibles constrictions. Lorsque ces nœuds sont présents sur les tours internes ils donnent à l'ombilic un aspect polygonal plus ou moins fortement prononcé selon la proéminence des nœuds. La suture est illustrée Pl. VII, fig.7. On notera la présence de trois lobes relativement étroits et d'un auxiliaire possédant des divisions irrégulières ou indistinctes. Le premier lobe latéral est de profondeur égale au lobe ventral. Les deux premières selles latérales ont un aspect général phylloïde. Remarque: L'espèce présente possède une section moins comprimée que les autres *Nordphiceratoides*.

Sibirites carinatus sp. nov.

Pl. V, fig. 2

Holotype, spécimen JHS-138 (diamètre 20 mm).

Provenance: Niveau JHSDE, Hot Springs, Bear Lake Valley, Idaho.

Description: *Sibirites* évoluée de petite taille avec un recouvrement des tours très faible. Notre spécimen est doté d'une costulation très tranchante latéralement, plus ou moins radiaire et montrant parfois une légère inflexion vers l'avant à mi-flanc. Les côtes développent quasiment une spination sur la bordure ventro-latérale. Elles ont tendance à se bifurquer sur l'aire ventrale puis chevauchent le pourtour externe en formant un chevron ventral qui forme une sorte de carène crénelée. La suture est inconnue.

Discussion: *Sibirites carinatus* sp. nov. diffère de *Sibirites eichwaldi* Mojsisovics par la présence de sa carène crénelée.

Columbites isabellae sp. nov.

Pl. VI, fig. 4

Holotype: Spécimen JHS-83 (diamètre 23,5 mm).

Derivatio nominis: Dédié à Isabelle Bucher-Nof.

Provenance: Niveau JHSDE; Hot Springs, Bear Lake Valley, Idaho.

Description: Coquille de petite taille, évoluée ($H/D=0.29$). Flancs subparallèles. Section subquadratique. Ventre faiblement arqué. Bordure ombilicale et ventrale largement arrondies. L'ornementation est formée de fines côtes rapprochées (env.18 par demi tour) et de constriction fréquentes. Les côtes sont radiales et légèrement arquées vers l'arrière sur les flancs. Elles traversent le ventre sans interruption et forment un sinus peu accentué. Sur le tour mature les côtes précédant une constriction ont tendance à être plus fortement projetées vers l'avant et à bifurquer sur la marge ventrale. La portion

aperturale de la côte bifide y acquiert un relief plus accentué, maximal sur la marge ventrale, alors que la portion arrière y est fortement atténuée. Le ventre est doté de fines lignes spirales. *Procolumbites karataucikus* Shevyrev (1968) possède une costulation similaire ce qui suggère une parenté entre les deux espèces. La suture est illustrée dans la Pl. VII, fig. 9. On remarque que le lobe latéral est arrondi et ne possède pas d'indentation. Ceci peut toutefois être mis en relation avec la faible taille des spécimens.

Remarque: *C. isabellae* se distingue des espèces finement costulées décrites par SMITH (1932) par l'absence de tuberculation (même sur les tours internes) ainsi que par la tendance des côtes à être bifides et par la taille réduite des spécimens.

Columbites crassicostatus sp. nov.

Pl. VI, fig. 1

Holotype: Spécimen JHS-66 (diamètre 33 mm).

Provenance: Niveau JHSDE; Hot Springs, Bear Lake Valley, Idaho.

Description: Coquille septencône à section déprimée. Flancs convexes, légèrement divergents. Tour subtrapézoïdal. Ventre large faiblement arqué à subtabulaire. Epaulements ventraux prononcés. Bordure ombilicale graduelle. Côtes proéminentes à section triangulaire et ayant tendance à être tranchantes (env. 11 par demi-tour). La force des côtes est maximale à l'approche de l'aire ventrale où elles sont légèrement arquées vers l'avant avant de s'atténuer fortement sur le ventre. Sur le flanc interne les côtes faiblissent progressivement et disparaissent sur la bordure ombilicale. Des constrictions occasionnelles profondes forment un chevron moyennement prononcé sur le ventre. La côte suivant immédiatement une telle constriction a tendance à avoir sa proéminence maximale à mi hauteur et faiblit plus rapidement que ses voisines à l'approche de la périphérie. On note la présence de lignes spirales grossièrement espacées sur le ventre. La suture est illustrée à la Pl. VII, fig. 10. Le lobe latéral a tendance à être triangulaire.

Discussion: Diffère des autres *Columbites* par sa costulation très robuste.

Hellenites elegans sp. nov.

Pl. VI, fig. 2

Holotype: Spécimen JGX-503 (diamètre 24 mm).

Provenance: Niveau JGX ALPHA-HC; Hammond Creek, Bear Lake Valley, Idaho.

Description: *Hellenites* relativement involute à ornementation faible, représentée par des stries plus ou moins radiales latéralement, projetés vers l'avant sur la marge ventro-latérale. Le dernier tour montre 6 ou 7 constrictions

latérales. Section élevée, relativement comprimée et légèrement ovoïde. Aire ventrale fortement carénée, et lisse. Marge ombilicale arrondie, assez abrupte et flancs légèrement convexes. La suture est illustrée à la Pl. VII, fig. 8.

Discussion: Diffère des autres *Hellenites* par son ornementation très ténue et ses constrictions.

Svalbardiceras sulcatum sp. nov.

Pl. VI, fig. 3

Holotype: Spécimen JGX-428 (diamètre environ 23 mm).

Provenance: Niveau JGX HC30; Hammond Creek, Bear Lake Valley, Idaho.

Description: Coquille moyennement évoluée à faible recouvrement des tours. Section du tour légèrement comprimée, subelliptique. Aire ventrale arquée à subtabulée, flancs peu convexes. L'épaisseur maximale se situe légèrement au dessus de la marge dorsale. Le ventre est doté d'un sillon médian, peu profond mais très net. Bande ombilicale largement arrondie suivie d'une paroi subverticale moyennement profonde. L'ornementation consiste en de grosses nodosités espacées (± 4 par demi-tour) allongées radialement ou légèrement proverses qui ont une proéminence maximale juste au dessus de la marge dorsale. Elles faiblissent rapidement vers le pourtour externe sans atteindre le ventre. On note également la présence de fines stries intercalaires. Dans le stade juvénile, l'ornementation est moins forte et plus dense. Un passage graduel à des nœuds plus prononcés et espacés est cependant observable sur le dernier tour. La suture est illustrée à la Pl. VII, fig. 11.

Remarque: Diffère des autres *Svalbardiceras* par son aire ventrale sulquée.

BIBLIOGRAPHIE

- GUEx J., HUNGERBÜHLER A., JENKS J., TAYLOR D. et BUCHER H., 2005. Dix-huit nouveaux genres d'ammonites du Spathien (Trias inférieur) de l'Ouest américain (Idaho, Nevada, Utah et Californie): Note préliminaire. Bull. Géol. Lausanne 362, Numéro Spécial, Mai 2005.
- HYATT A. and SMITH J.P., 1905. The Triassic cephalopod genera of North America. U.S. Geol. Surv. Prof. Paper 40: 394 p.
- KUMMEL B., 1969. Ammonoids of the late Scythian (Lower Triassic). *Bulletin of the Museum of comparative Zoology*, Harvard University, v. 137 (3): 31.
- SMITH J.P., 1932. Lower Triassic ammonoids of North America. *U.S. Geol. Surv. Prof. Paper 167, 199*: 1-702.

REMERCIEMENTS

Travail achevé dans le cadre du projet FNRS 200020-100209 (JGX). Les travaux photographiques ont été effectués par M. Stefan Ansermet (Musée de Géologie, Lausanne).

Manuscrit reçu le 20 mai 2005

PLANCHES I-VII

Sauf mention contraire les échantillons seront déposés au Musée Géologique de Lausanne.

Planche I

Figure 1.—*Pseudosvalbardiceras? humboldtense* sp. nov., Holotype. No JGX-1002. Provenance: Niv. JGX NHR 2823A, North Humboldt Range, Nevada. Diamètre: 35 mm.

Figure 2.—*Prohungarites submckelvei* sp. nov., Holotype. No JGX-1007. Provenance: Niv. JGX NHR 2360A, North Humboldt Range, Nevada. Diamètre: 33 mm.

Figure 3.—*Prohungarites beyrichitoides* sp.nnov., Holotype. No JGX-465. Provenance: Niv. JGX HC9, Hammond Creek, Bear Lake Valley, Idaho. Diamètre: 14 mm.

Figure 4.—*Prohungarites lenticularis* sp. nov., Holotype. No JGX-1005. Provenance: Niv. JGX NHR 2823A, North Humboldt Range, Nevada. Diamètre: 30 mm.

Planche I

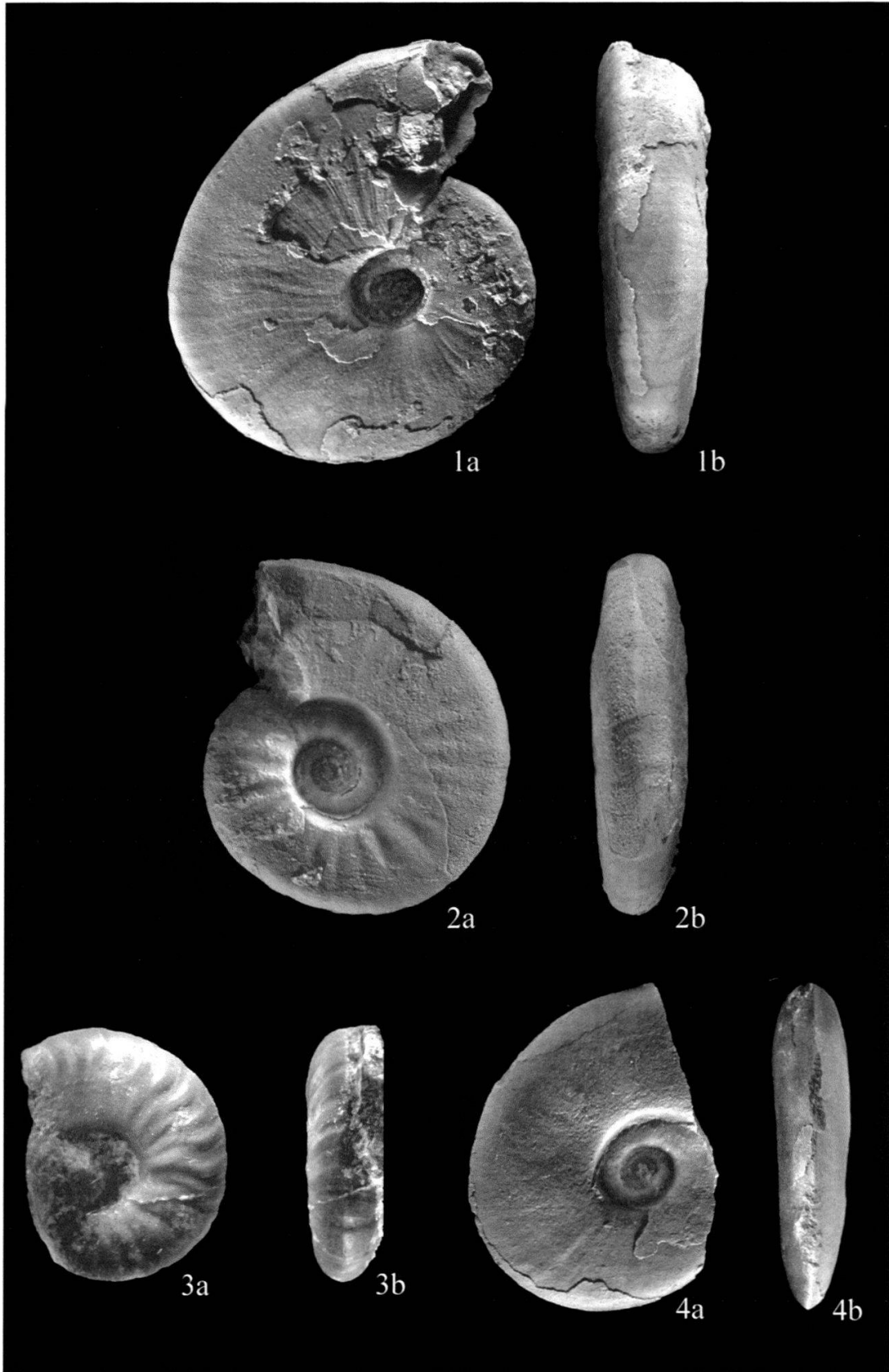


Planche II

Figure 1.—*Silberlingeria coronata* sp. nov., Holotype. No JGX-482. Provenance: Niv. JGX HCT, Hammond Creek, Bear Lake Valley, Idaho. Diamètre: 140 mm.

Planche II

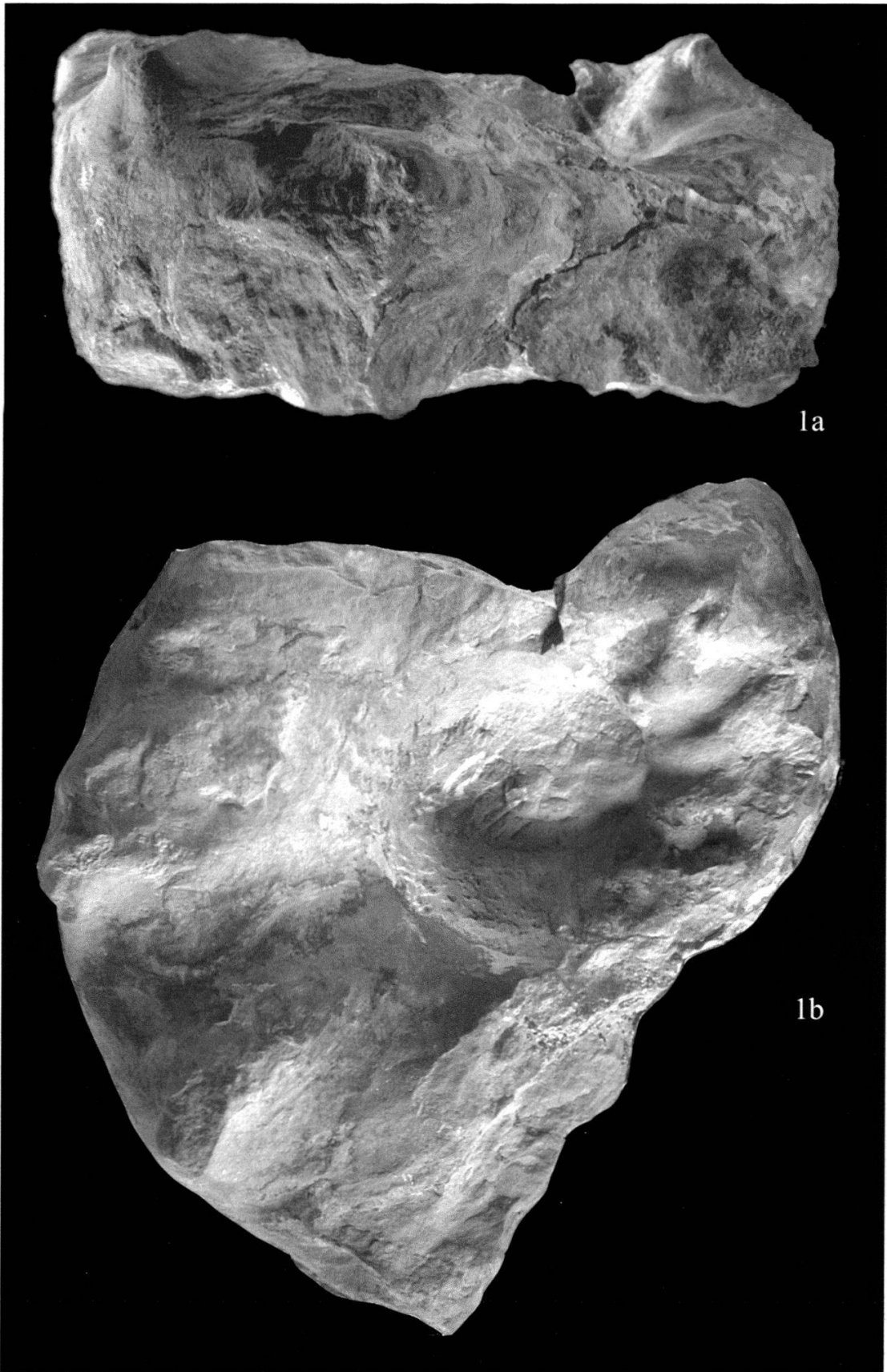


Planche III

Figure 1.—*Silberlingeria rubyae* sp. nov., Holotype. No JGX-1001. Provenance: Niv. JGX NHR 2360D5, North Humboldt Range, Nevada. Diamètre: 54 mm.

Figure 2.—*Silberlingeria sarahjanae* sp. nov., Holotype. No JGX-480. Provenance: Niv. JGX HM18b, Hammond Creek, Bear Lake Valley, Idaho. Diamètre: 62 mm.

Figure 3.—*Hemilecanites fastigatus* sp. nov., Holotype. No JGX-1011. Provenance: Niv. JGX NHR 2823A, North Humboldt Range, Nevada. Diamètre: 29.5 mm.

Planche III

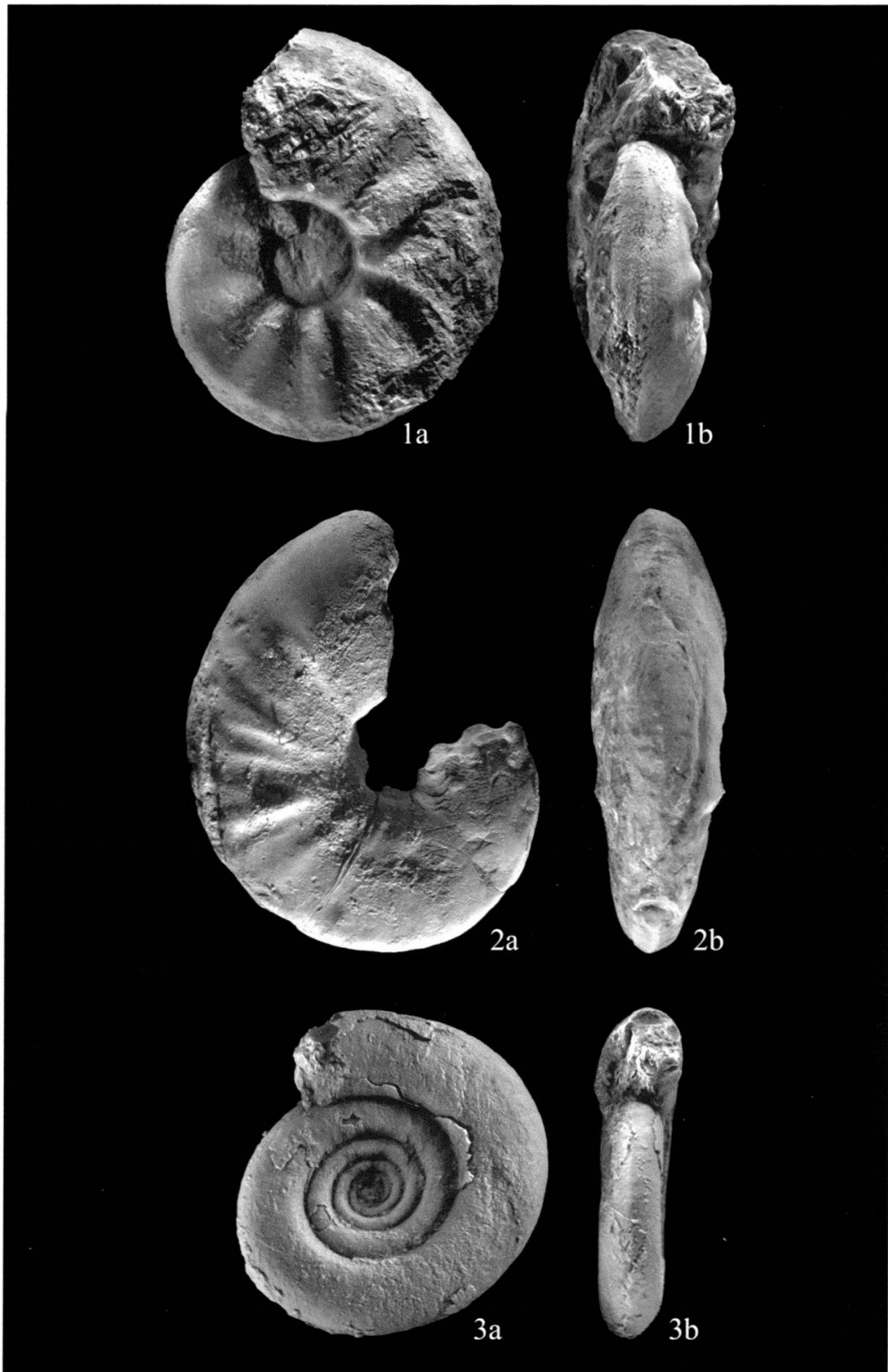


Planche IV

Figure 1.—*Bajarunia confusionensis* sp. nov., Holotype. No JGX-592. Provenance: Niv. JGX M110, Cowboy Pass, Confusion Range, Utah. Diamètre: 43 mm.

Figure 2.—*Arctomeekoceras popovi* sp. nov., Holotype. No JHS-1674c-43. Coll. Jenks. Provenance: Niv. JHSC, Hot Springs, Bear Lake Valley, Idaho. Diamètre: 59 mm.

Figure 3.—*Arctomeekoceras tardum* sp. nov., Holotype. No JGX-521. Provenance: Niv. JGX BETA-HC1, entre Paris Canyon et Hammond Creek, Bear Lake Valley, Idaho. Diamètre: 44 mm.

Planche IV



Planche V

Figure 1.—*Xenoceltites crenulatus* sp. nov., Holotype. No JGX-163. Provenance: Niv. JGX HS5, Hot Springs, Bear Lake Valley, Idaho. Diamètre: 18 mm.

Figure 2.—*Sibirites carinatus* sp. nov., Holotype. No JHS-290c-138. Coll. Jenks. Provenance: Niv. JHSDE, Hot Springs, Bear Lake Valley, Idaho. Diamètre: 23 mm.

Figure 3.—*Nordophiceratoides gracilis* sp. nov., Holotype. No JHS-110c-12. Coll. Jenks. Provenance: Niv. JHSDE, Hot Springs, Bear Lake Valley, Idaho. Diamètre: 49 mm.

Figure 4.—*Nordophiceratoides adriani* sp. nov., Holotype. No JHS-220c-15. Coll. Jenks. Provenance: Niv. JHSDE, Hot Springs, Bear Lake Valley, Idaho. Diamètre: 53.5 mm.

Planche V

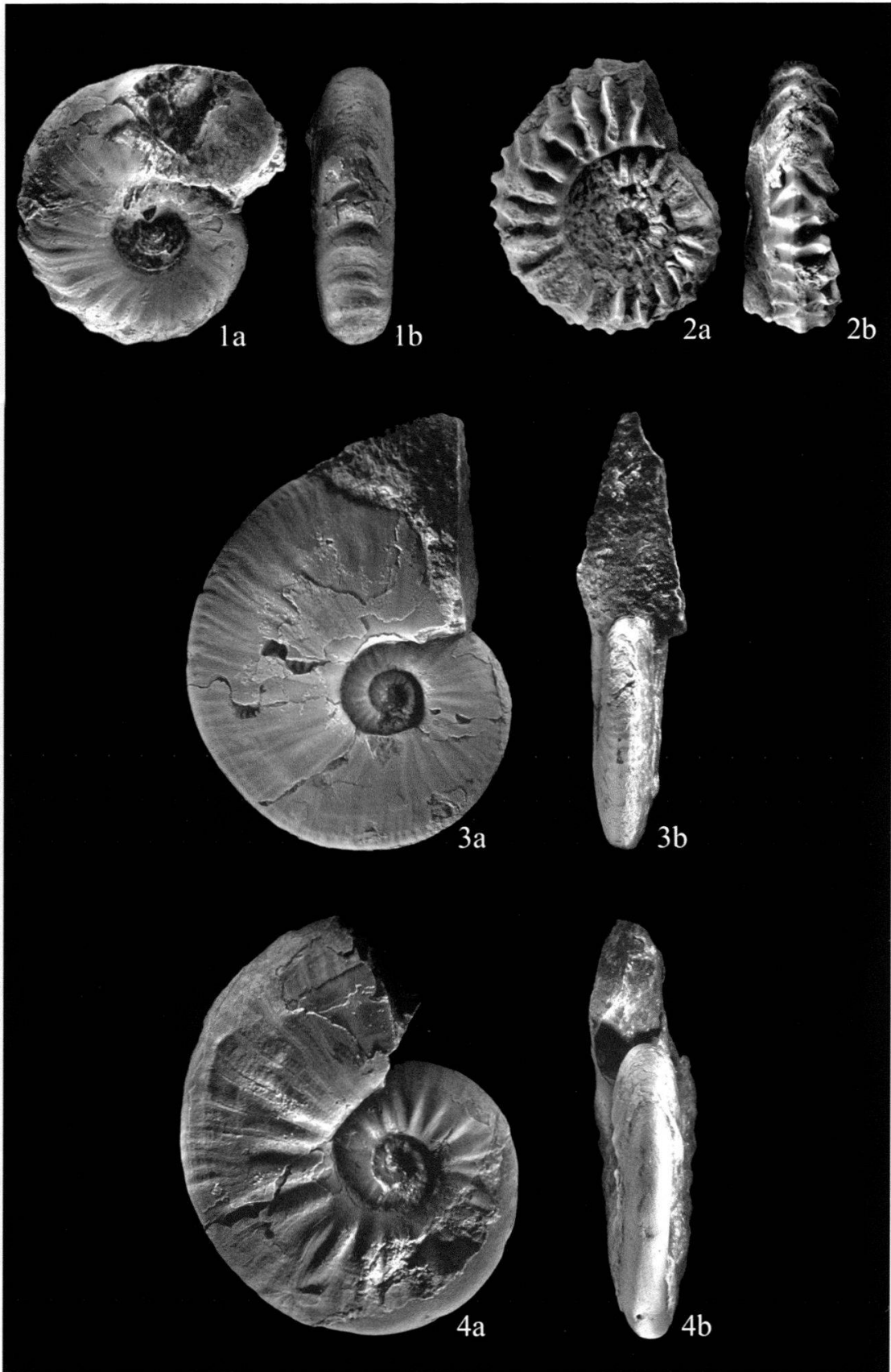


Planche VI

Figure 1.—*Columbites crassicostratus* sp. nov., Holotype. No JHS-268c-66. Provenance: Niv. JHSDE, Hot Springs, Bear Lake Valley, Idaho. Diamètre: 33 mm.

Figure 2.—*Hellenites elegans* sp. nov., Holotype. No JGX-503. Provenance: Niv. JGX ALPHA-HC2, Hammond Creek, Bear Lake Valley, Idaho. Diamètre: 24 mm.

Figure 3.—*Svalbardiceras sulcatum* sp. nov., Holotype. No JGX-428. Provenance: Niv. JGX HC30, Hammond Creek, Bear Lake Valley, Idaho. Diamètre: 23 mm.

Figure 4.—*Columbites isabellae* sp. nov., Holotype. No JHS-1679c-83. Coll. Jenks. Provenance: Niv. JHSDE, Hot Springs, Bear Lake Valley, Idaho. Diamètre: 25 mm.

Planche VI

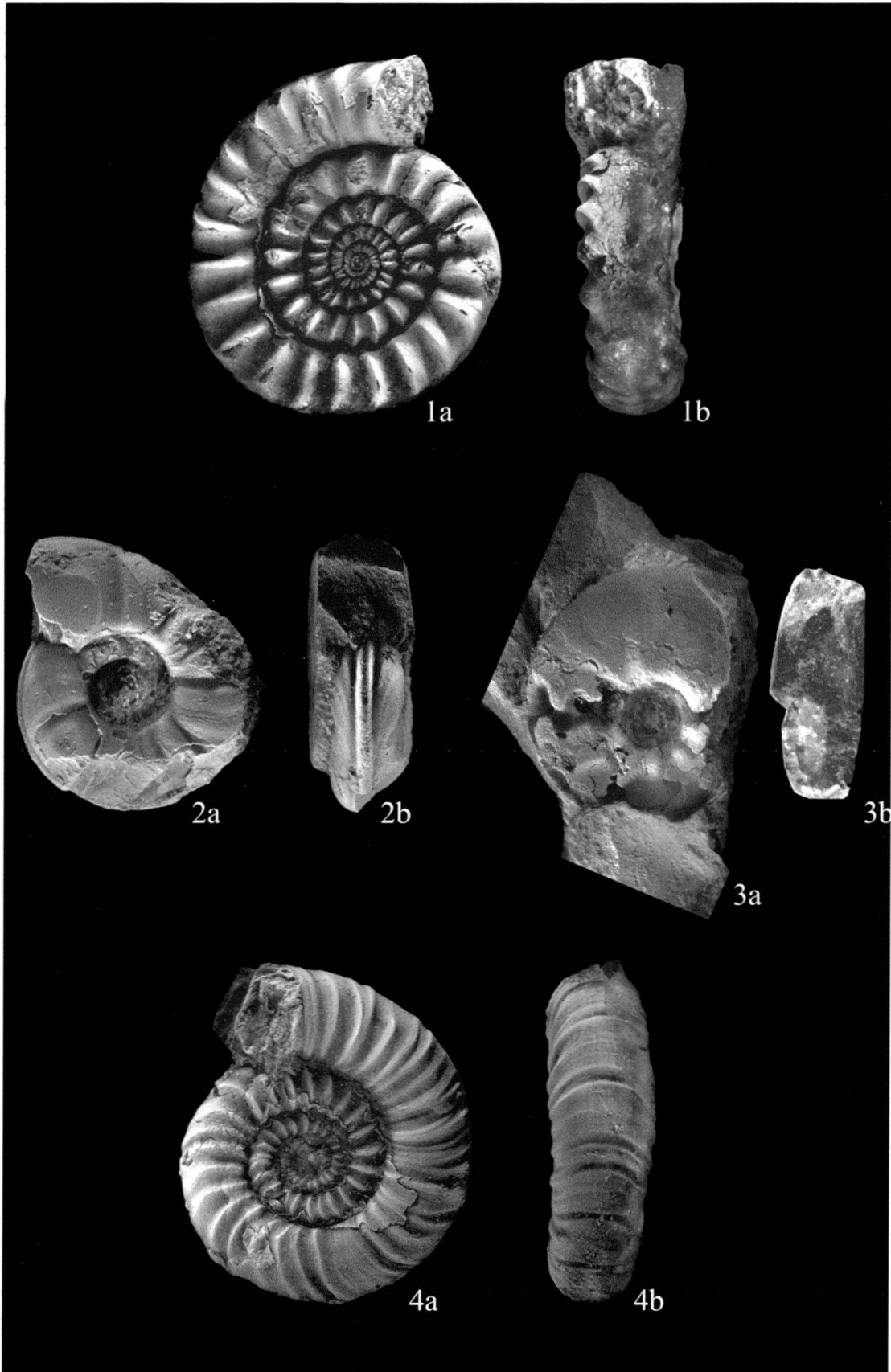


Planche VII

Figure 1.—*Prohungarites beyrichitoides* sp. nov., Holotype. Hauteur: 3.5 mm.

Figure 2.—*Silberlingeria sarahjanae* sp. nov., Holotype. Hauteur: 19 mm.

Figure 3.—*Hemilecanites fastigatus* sp. nov., Paratype. No JGX-1008. Hauteur: 5 mm.

Figure 4.—*Bajarunia confusionensis* sp. nov., Holotype. Hauteur: 16 mm.

Figure 5.—*Arctomeekoceras popovi* sp. nov., Holotype. Hauteur: 24 mm.

Figure 6.—*Arctomeekoceras tardum* sp. nov., Paratype. No JGX-528. Hauteur: 18 mm.

Figure 7.—*Nordophiceratoides adriani* sp. nov., Paratype. No JHS-1683c. Coll. Jenks. Hauteur: 13 mm.

Figure 8.—*Hellenites elegans* sp. nov., Paratype. No JGX-503bis. Hauteur: 4.5 mm.

Figure 9.—*Columbites isabellae* sp. nov., Paratype. No JHS-1678c-84. Hauteur: 5 mm.

Figure 10.—*Columbites crassicostatus* sp. nov., Holotype. Hauteur: 5 mm.

Figure 11.—*Svalbardiceras sulcatum* sp. nov., Holotype. Hauteur: 9 mm.

Planche VII

